

用物理量作暴雨予报 经验汇集

安徽气象科学研究所
一九八二年八月



用物理量作暴雨预报经验汇集

目 录

(1) 前言

(1) 鄱阳湖长江中下游地区雨带移动及其暴雨强度的
估计 李同杰

(2) 利用水汽通量和高低层湿度差作暴雨落区及雨强预
报的手段 张锋生

(3) 试用湿度等物理量作暴雨的区域预报

蒋元政

(4) 应用 A 指数及 200 mb 3 做夏季降水预报

梁益平

(5) 在梅雨期间理查逊指数 2 小时内降水的方
法 丁大胜

(6) 湿度倾向和湿热倾向的计算及应用

林宗渭 刘清珍

用物理量作暴雨预报经验汇集

安徽省气象科研所

前言

江淮梅雨期暴雨的分析与报试验研究工作，自1980年开始，已连续进行了三个梅雨期了。作为试验的一个重要部分，就是用电子计算机逐日及时地计算区域性的大批物理量。其计算范围见图一，计算项目和简要方法介绍见表1。

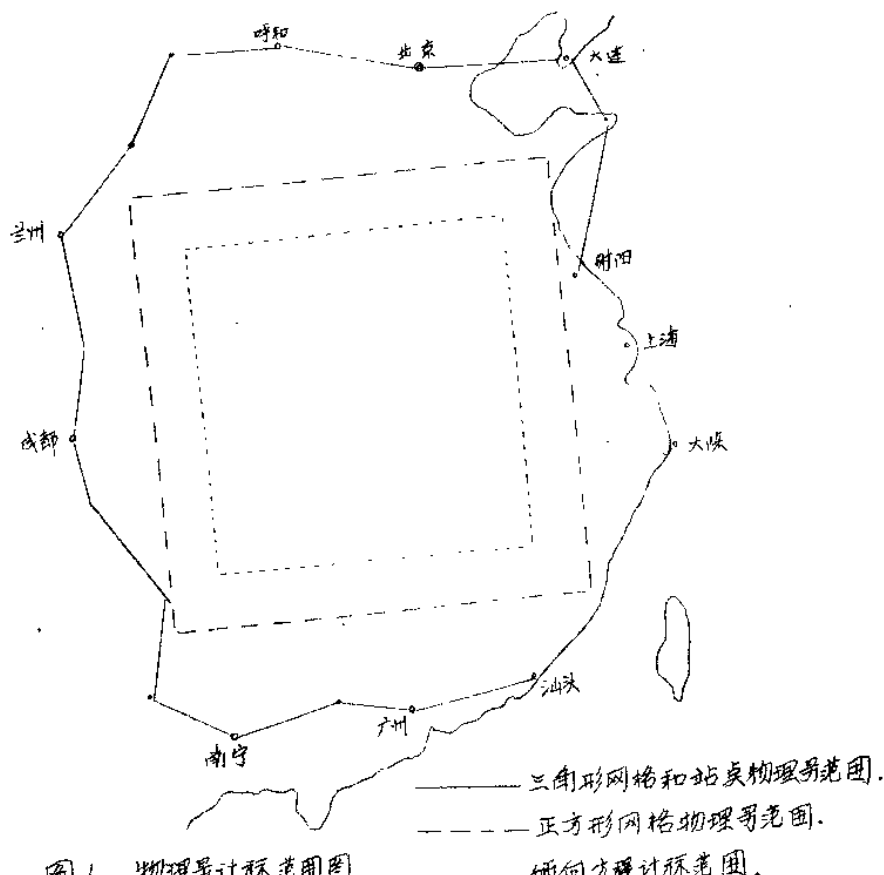


图1. 物理量计标范围图

表 1. 暴雨试验物理量计算项目表

项目	层次	单位	计算方法简要
散度	850, 700, 500, 400, 300, 200, 100,	- $10/s$	三类法，假定 $D_{1000} = \frac{1}{3} D_{850}$, $\int_{1000}^{100} D dp = 0$ 作线性修正。
涡度	同上	同上	三类法
垂直速度	850, 700, 500, 400, 300, 200	- $10 mb/s$	连续方程法，假定 $W_{1000} = 0$ 由散度积分得。
K 流速易 散度	850, 700, 500,	- $10 \text{ 克}/s \cdot cm/m \cdot mb$	把 $\frac{\partial}{\partial t} \vec{V}$ 作失易，三类法计算
可能降水		mm/hr	1. 水汽辐射法 $\int_{1000}^{400} \frac{1}{g} \nabla \cdot (\vec{q} \vec{V}) dp$ 2. 凝结函数法 $\int_{1000}^{400} S w F dp$
水汽速易 百分易	850, 700	克/cm·mb.s	$8 u/g$
相当气温	850, 700, 500, 400,	°C	$(273 + t + 2.58) \left(\frac{1000}{p} \right)^{\frac{2}{7}} - 273$
理查逊数	850-700, 700-500	无量纲	$-R \cdot \frac{T}{\theta p} \cdot \frac{\partial \theta}{\partial p} / \left \frac{\partial \vec{V}}{\partial p} \right ^2$
A 指数		°C	$t_{950} - t_{500} - \sum_{0.5 \leq i \leq 5} (t - t_d)$
正方形法 涡、散度、 垂直速度	同三类法	同三类法	格距 150 km, 网格上的 U, V 是用约 400 km 范围内的站来，权重 $((R^2 - r^2) / (R^2 + r^2))^2$ 墓观插值得来。
涡度倾向	700	$-10/s^2$	用简化涡度方程 $\frac{\partial \zeta}{\partial t} \approx -\vec{V} \cdot \nabla S - U \beta_0 - (3+f) \nabla \cdot \vec{V}$ 去上述正方形网格涡度差基础上算。
位移倾向	700	$\alpha \cdot 10^{-5} / s^3$	$\frac{\partial \phi}{\partial t} \approx -(\nabla^2 + \frac{f^2}{\sigma} \frac{\partial^2}{\partial p^2}) \frac{\partial \phi}{\partial t}$ $= f_0 \vec{V} \cdot \nabla (3+f) - \frac{f_0^2}{\sigma} \frac{\partial}{\partial p} (\vec{V} \cdot \nabla \frac{\partial \phi}{\partial p})$ 格点上的位移值采用同 U, V 一样的客观插值法。
W, Q, V 剖面图			用 $W_{850+7+5}$ 和 Q, V_{850+7} 作太虎—厦门一线剖面图。 予报雨带位置，采用经验公式 降雨量。

三年来，每年在6月上旬至7月中旬这段梅雨季节里，共计
做了120天，143个时段（一般只做8段，暴雨时增加20
段）。计标是在中国科技大学的320计标机上实现的，每次约
10分钟。原始数据和所标出的物理量除用表格输出外，大部份物
理量还由机内按地理位置打出平面分布图，以便供迅速地分析。

设计并计标这么多物理量，主要有两个目的：

一、是要使暴雨诊断分析搞得更广泛更客观些。七十年代中，
在国内掀起诊断分析热潮，对逐步摸清暴雨发生发展的物理机制，
起了良好的作用；但这类诊断多做只着重于暴雨发生的地区和时
段，缺乏广泛的诊断资料。有似于医务工作者研究某种疾病，有了
较多的垂病人诊断经验或死者解剖资料，还缺少普遍的体检检
查资料。再则某些物理量的计标主观成份比较大，即使是机内计
标，方法也各不相同，结论不便相互比较。我们是不论有无暴雨，
每天都用统一的方法标，目的就想弥补这类不足。诊断分析的工作，
不去夸《汇集》谈。

第二个目的，也许也是更迫切的任务，是要把物理量用到暴
雨预报中去。为此一开始我们在计标上就注意到两点：方法要客
观稳定，程序编定后当年不许变，隔年也只作小修改，不用临时可
变的参数。使资料保持良好的连续性和比较性；速度要快，8
段的图14段要标出来，赶上预报使用。

八〇年来，用物理量作暴雨预报的试验研究，大致经历了三
个阶段：

1. 在等压面物理量图上寻找暴雨预报规律。由于没有系统
的物理量历史资料，只能根据它们的天气学和动力气象学意义，
依据以往诊断分析的成果，逐步摸索。起初计标的等压面物理量
图有三十多张，经过一个时期的筛选，注意力自然地集中到较低
层的 $P_{0.7}$ ， w ， QV ， A ， R_i 以及日比等十余项（层）。

上(多层200 mb的ROT剖面同意用到)。

2. 在八〇年雨季结束后，总结出一些用物理量改善予报的工具(多数是24小时短期预报)，他们的特点是物理意义明确，比较客观定量，又有一定的准确度和稳定性。物理量的选择上都注重动力和热力的配合，低层和高层的配合。表达方法上，除等压面图外，还采用了基层台站所惯用的剖面图、相关图、直歌图和经验公式等形式。

3. 返回到予报实践中去作“中间试验”，就是和台站的予报员同志一起试用检验这些方法。在试用中，可以与予报员常用的予报工具相结合，不断补充，继续改进。八二年我们还选择了5项物理量传真给地震台站使用，还向少数台站传递了ROT、 QV 、 θe 等物理量数据，供他们制作剖面图和相关图表工具，配合现有的工具，做暴雨予报。

经过以上实践，我们有以下几点体会：

1. 充分发挥物理量物理意义明确的优势。我们有的物理量，许多在动力气象学和大气热力学的方程里，占有重要地位，掌握这些方程的意义，熟悉计算过程中的各项不定，可能的误差以及所能代表的尺度等情況，都是合理使用物理量作暴雨予报所必不可少的。例如“可能降水量”，它的计算不定就是一丁三角形范围里的平均瞬时降水强度。而三角形的面积一般有三万平方公里左右，对于小范围的暴雨它就无法反映，还需要作深入细致的分析。在选择予报因子时，要注意选用具有独立意义的物理量来搭配使用，避免用效应类似的量，如散度与垂直速度，就沒有兼用的必要。

2. 要充分重视物理量客观定量的优势，但也不能过份拘泥。低涡深还是浅，西南急流强还是弱，物理量都能提供一些客观定量的指标，这是它比一般天气图的优越所在。它给我们提供了作

进一步数学化理的方便，如：可以进而计算某物理量的梯度或平流，引入坐标图或统计予报因子。由于物理量有机地综合了几十、几层或几站的基本气象观测数据，一个物理量数表征了大气的多种属性，因此用于予报的效果，多数比单独的压湿风要素要好。但由于大气运动的复杂性和计算中的许多粗略的不定，使物理量数值的精确度和代表性就有一定限制，故使用时切忌过份拘泥。为此我们常采用物理量的几十站(层)之和或几十三角形的极值，来代替单站(层)的值，从而增加予报因子的可靠性。使用时出现边界附近的情况，仍要慎重考虑。

3. 波浪和天气 图、卫星云图、雷达、本站资料等都有予报工具的结合，这是因为，物理量尽管具有稳定性、物理意义清楚等优点，但它和其它任何予报工具一样，也有其不足之处。首先它还没有较长的历史资料，没有天气图和云图这样的广阔范围，出图没有天气图及时，对中小系统反映远没有雷达天气图和雷达来得细（我们只有在之后经过雷达细网格物理量）。对于予报员的经验以反妙形的东西等，更是物理量所代替不了的。只要我们能把物理量和现有的予报工具与予报经验紧密结合起来，使它们互相取长补短，那就一定能发挥积极作用。

4. 希望和数值予报相结合，中央现在已把数值予报提到很重要的位置，而多数物理量是可以通过数值予报得到其未来予报值的（如垂直速度、湿度、风流等）。我们现在有了几年物理量，除了当时作予报用外，也得到了一些物理和降水天气的暂时性相关规律，那末，今后只要数值予报能报出来未来的物理量形势来，这些规律就可兹作为形均予报和要素予报之间的桥梁，模拟予报的参数。

总之，利用物理量作予报，作为一种手段是与其积极意义的，如果能设计方法更完善些，范围更大一些，时效更密些，尺度

大中小配起盖来，物理男的汗力必须更大发挥出来，将与其它子
板工具相配合，为攻克暴雨子根难关起到积极的作用。

下面汇集了六篇我们在用物理男作暴雨子根方面的经验，供
参考，欢迎批评指正。

梅雨期长江中下游地区雨带摆动及其暴雨强度估计

李 国 杰

梅雨期天气形势已为我们掌握得全面，如何利用计数出的动
力和热力学参数 制作24小时暴雨预报，是亟待摸索的实际问
题。为此，我们设计了一丁与低空西南急流正交的综合分析图作
为预报工具，其特点是它能直观的看出梅雨期天气形势主要特征，
同时又能从定量的角度，测定天气演变及其强度变化。另外，给出一
个半经验公式，作为未来24小时 雨带上暴雨的
最大可能强度计数方案，在1980年—1982年汛期暴雨统计中，
付诸使用，起到一定作用。目前这套方案已同其它物理量计数一
起，由计数机自动完成。

一、正交 综合分析图设计原理

正交综合分析图的设计完全基于暴雨物理量分布特征与天
气系统有密切关系而建立起来的。

梅雨期长江中下游地区处于西太平洋副热带高压边缘 对流
层中下层常连着一条切变线 在西南气流中低空急流充当了暴雨
生成的主要角色。一条东西向暴雨带与切变线天然相配。在初夏
东亚这种天气形势下，主要的一些物理量分别显现一定的特征。

I. 在700毫巴图上，切变线以南至飑线锋之间为上升运动
区，且南1—2丁相距3丁纬距左右的垂直运动大值中心，呈东
西带状分布。暴雨区与这些强上升区一一对应。沿海雨锋附近
(31°N或29°N)。作剖面图分析，也能清楚地看到这3个特征。
反映了波长小于1000公里的中间尺度扰动的特征，证实了梅雨
锋系是由几丁中尺度系统组成的^[1]，如图1。

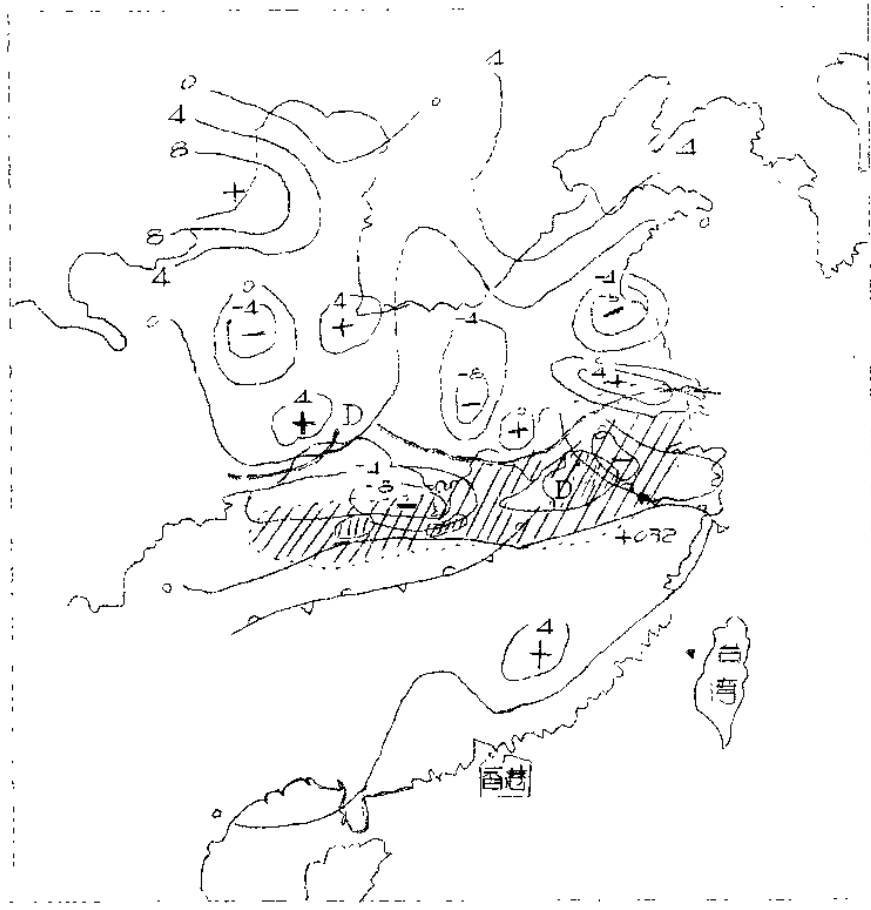


图 I 1950年6月12日8时上方速度(W_{700})分布
——— 地面槽止锋 // / 雨带 ◎ 暴雨区
粗实线 700mb 切变线 细实线 W 等值线。

II 从850毫巴图上水汽通量南分界带，付之北移的急流轴与QR轴一致。暴雨带沿急流走向，在QR左侧到 700mb 切变线之间居中地带。QR中心常在云贵之西北侧，QR湿舌项口伸

向长江下游，从仅每天的形势变化，随著出自孟加拉湾（或南海）的水汽，向梅雨锋不断输送，以反推特、变化情况，见图2。

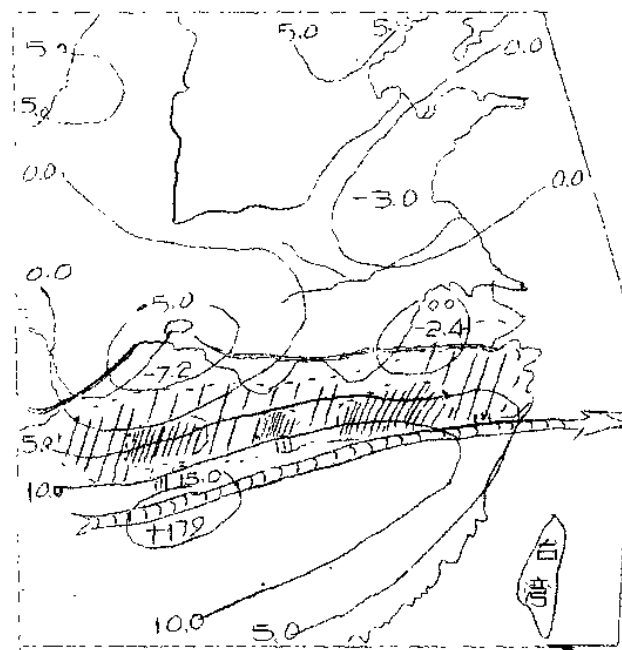


图2 80.6.12.8^h 水汽通量南分支 QV 85 mb 分布图。1/111: 雨带 1/112: 暴雨区 1/113: 700mb 切变线 1/114: 水汽输送带与西南急流

III. 从850—700毫巴的垂直递减率，分布看，尺，尺，零值线与700 mb 上的低值系统相交处，有暴雨区出现，见图3。不难理解，在积云对流旺盛地区，由于对流混合作用，使得大气层结趋于中性 ($\frac{\partial \theta_{se}}{\partial P} = 0$)，因此，由公式 $R_1 \approx -R \frac{\partial P}{P} \cdot \frac{\Delta \theta_{se}}{(\Delta V)_2}$ 计算出的数值接近于零，这同岸保(1970)、松本、二岛(1973)提出的

~ 2 ~

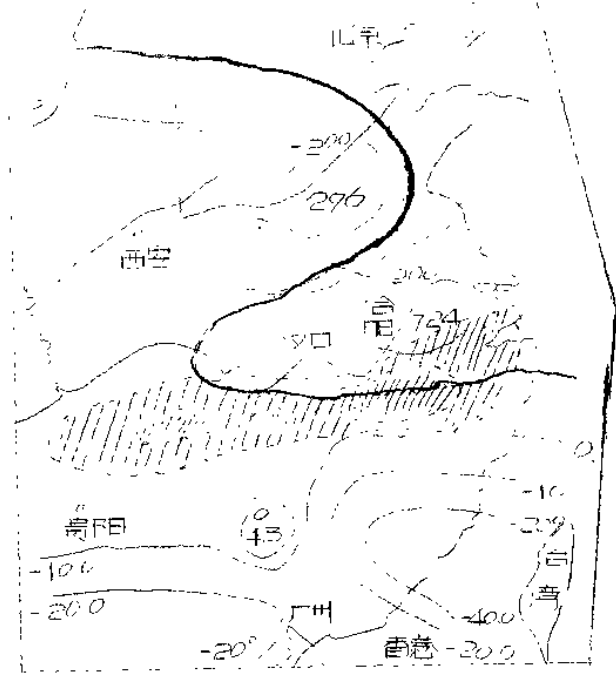


图3 (80.6.12.8^h) 850-700mb 雷卡
绝对风分布
粗实线即均风, 零线 / / / 雨带 □ 暴雨区

中尺度扰动对流判据基本吻合。且 该剖面与西南气流正交的空间剖面图 可以清楚地看出梅雨锋暴雨着陆图象, 如图4。雨带所在海拔上空2000m以下为整层上升运动, 其中心高在500mb以下附近, 水汽最大中心在850mb以下, 应于上升运动中心的偏南风附近。且湿中心北侧有一小干中心相峙, 暴雨区(暴雨带)正落在二者之间。

因为最适合于长江中下游地区。为了完善麦地上述物理易在

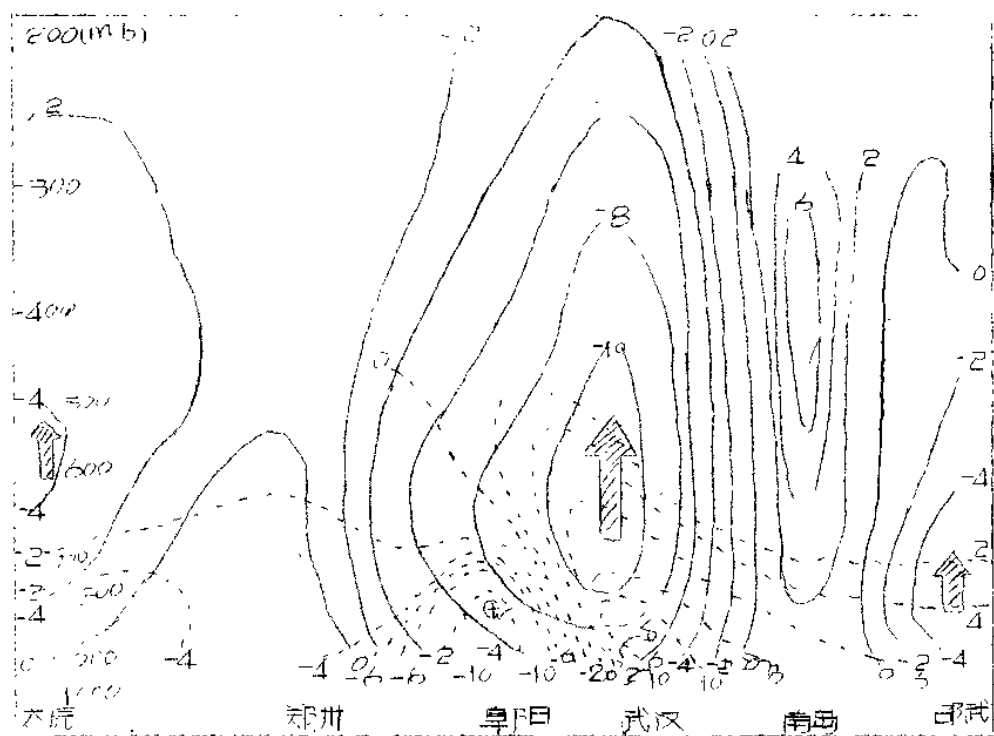


图4 1983年6月17日 6时 剖面图

成首的天气反映，选取一个合适的剖面是需要的。因此，我们选取与西南气流正交的剖面。对上述物理量进行综合分析，图 5 表出暴雨减弱时计数区域反照率，图中圆圈点反照率分区表示剖面的取法；剖面靠近我省西口，见图 6(a), (b)。图中箭号示凸西南气流即水汽输送带，看图中点区示暴雨片与大雨片。

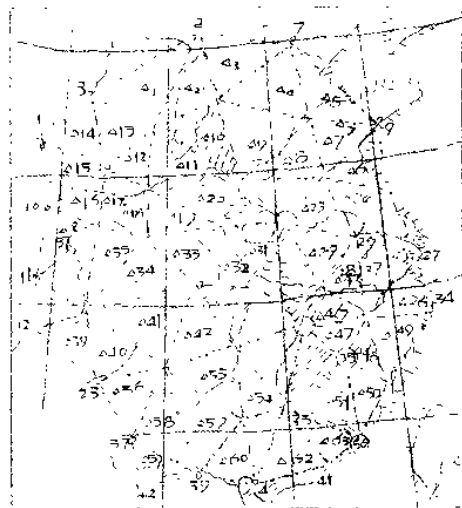


图5 1980年计标区域、雨情及黑点表示剖线位置

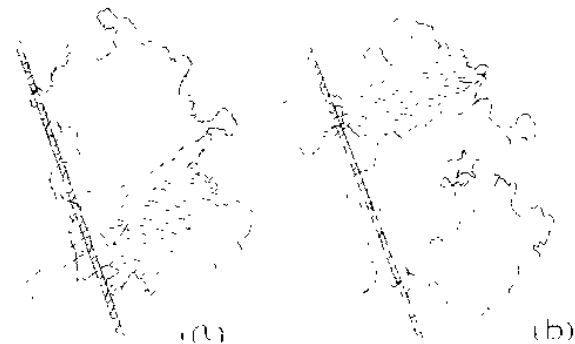


图6 剖线在本省的部位

二 正交综合分析图(简称正交图)制作及其特征

为显示梅雨期暴雨带的南北摆动，同时综合表现暴雨形成的物理条件，剖面图作法如下：以1980年6月23日为例加以说明。

见图7。图中之垂线为垂直于低空西南气流的剖线，从此剖面站数为4、14、28、17、32、35、38，顺序为太原、郑州、阜阳。

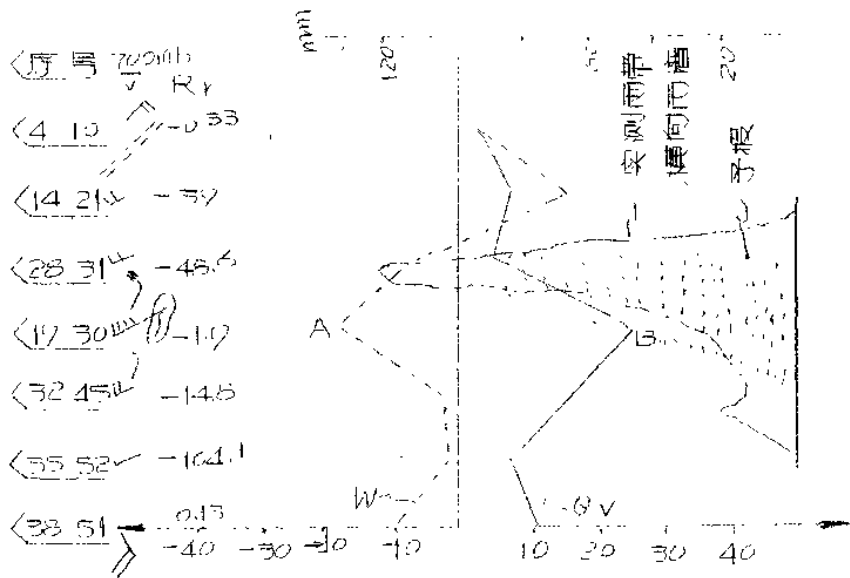


图7. 与西南昌流正交的综合分析 (80.6238^h)
(即南型 南点为A B)

汉口、南昌、邵武和厦门，与其相近的三角形区为10、21、31、30、45、52，引起它们的区域平均上升速度相近标记在各站线上。（8年以后的试验范围有些扩大，其漏号作了调整）。横坐标右边取 Q_v 项（毫/厘米·毫巴·秒）左边取垂面运动值 ζW ($\times 10^{-3}$ 毫巴/秒)，二者坐标比例相同。为了介对流层中下层 Q_v 和 ζW 的垂直情况，各自取700 mb 和 350 mb 二层数值之和标记 ζQ_v 取500、700、350 mb 三层数值之和标记 ζW ，另外在图中又加上两个附属坐标，一者为700 mb 各站风向风速，目的是从剖面上就可看出长江中下游地区700 mb 上切变线和急流的形势，最后还标出雷卡越数尺，南北 站点，借此判别何处存在尺度扰动情况。

分析发现，物理量 ζW 及 ζQ_v 在南北方向上 呈现两大类型：一种是南型（即大肚型）如图7，一种是北型（即小肚型）

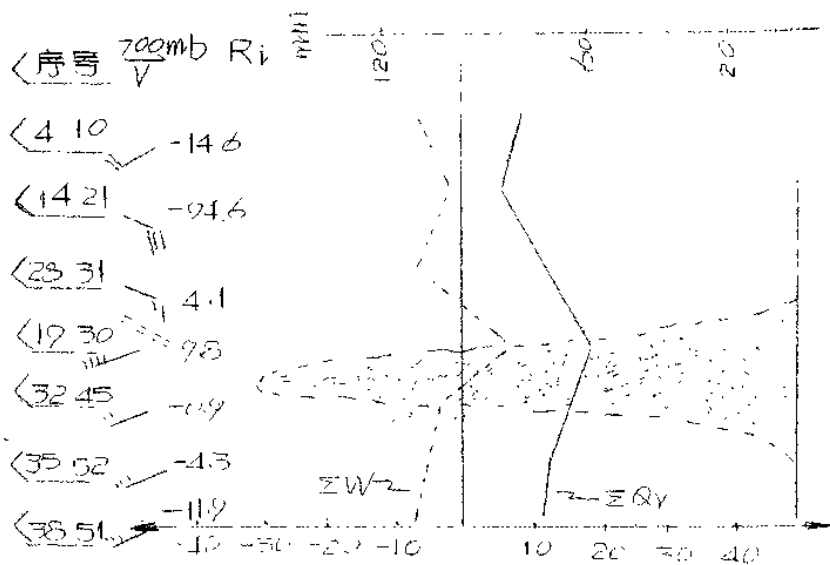


图6 台风型正交综合分析图(82.6.20.0900)

雨峰型的基本特征是 700mb 切变线从南到 850mb 递流轴之间，垂直运动和水汽通量南分界，厚度一个极值，且在极值附近出现一个南北向的最大切变值。此处正是未来 24 小时暴雨带所在位置，进一步分析可知， ΣW 与 ΣQV 厚度梯度，表示垂直运动和水汽条件的南北分布情况。其次，雨带强度发生最大的地区恰在切变线系统影响区附近，不难理解，此处满足

$$\text{MAX} \left\{ \frac{\partial V}{\partial Y} \right\}$$

又因为垂直运动 $W \propto \frac{\partial V}{\partial Y}$ ，所以，该范围内只具备降水的动力条件。

梅雨期由于夏季切变线或切变低涡影响次数较多，因此，雨峰型暴雨带出现较多，1982年汛期共出现 13 天，而雨谷型（属于

南北向低槽影响)它的次数偏少,1982年只有3天。因此,我们主要根据南峯型的正交图特征来建立预报工具的。

这样,我们每天定时(如上午08时)制作这么一帧综合图,便可把24小时内暴雨落区(雨带位置)反差度以南北向雨带的形式勾划出来,供预报参考。

三. $\max \Sigma W - \max \Sigma Q_v$ 与暴雨关系

正交综合图凡属于南峯型,皆可读取峯值上的 ΣW 和 ΣQ_v 值,且改记作 $\max \Sigma W$ 和 $\max \Sigma Q_v$,三年来试研资料分析,发现它们的分布与暴雨关系较好,图9即为 $\max \Sigma W - \max \Sigma Q_v$ 与暴雨相关图。

这帧点聚图上用A线色圈的区域为未来24小时内暴雨(即指暴雨带生成)落点范围,A线与B线所夹区域为局地弱降水产生区(即指雨带上降水强度减弱或雨带消失后仍会出现局地性弱降水)。其次,个别点出现在B线之外,为明显不具备强降水条件。

图9的规律性较好,其物理意义是清楚的,由天气学可知,当切变线增强时,必然表现垂直运动增强,往往伴随西南急流增强,从而水汽输送加大,对形成强暴雨提供了充分和必要条件。

这帧图又给出暴雨带出现的临界数值,近似为 [$\max \Sigma W < -7 \times 10^{-3}$, $\max \Sigma Q_v > 13.0$], 可见,只具备上升运动,缺乏足够的水汽条件是不可能出现暴雨带的(如82年7月1日)。

反之,若水汽条件相当充沛,而垂直运动较弱,也不可能出现暴雨带的(如82年6月12日),图上标大星号★。

利用此图便可对未来样本点进行预报,经过试研以来的使用和杆研,效果较好。该图历史拟合率为85%,1982年汛期中运用正交图与点聚图预报,13天暴雨日(亦包括南方省份),除了前三天是南峯型外,10天强暴雨日报出8天(6月21日和7月